

文章编号: 1004-0609(2000)01-0073-04

# Sn 对稀土系贮氢合金性能的影响<sup>①</sup>

赵 爽<sup>1</sup>, 林 勤<sup>1</sup>, 朱大建<sup>1</sup>, 陈 宁<sup>1</sup>, 袁永文<sup>2</sup>

(1. 北京科技大学 物理化学系, 北京 100083; 2. 清华大学 材料科学与工程系, 北京 100084)

**摘要:** 研究了 Sn 替代贮氢合金  $\text{LaNi}_5$  和  $\text{M}\text{Ini}_5$  ( $\text{Ml}$ =富镧混合稀土) 中部分 Ni 对合金的结构、吸氢容量和平衡氢压等性能的影响。用 X 射线衍射进行物相分析, 测试了 298 K, 313 K, 333 K 温度下合金的吸、放氢  $p - c - T$  曲线。结果表明,  $\text{M}\text{Ini}_{5-x}\text{Sn}_x$  合金 ( $x = 0, 0.1$ ) 为六方晶体结构的单相组织。以 Sn 部分取代 Ni, 使平台压力降低, 吸、放氢滞后减小, 而吸氢能力降低很小。利用电负性、电子浓度及原子尺寸等参数的半经验模型, 计算的  $\Delta H^\ominus$  与实验值符合较好, 因此, 少量 Sn 替代 Ni 时, 影响合金热力学性质的主要因素是外层电子数的变化。

**关键词:** 贮氢合金; 稀土金属; 锡

中图分类号: TM201.4

文献标识码: A

以  $\text{LaNi}_5$  为代表的稀土-镍合金以其优良的贮氢性能而受到人们的重视, 关于这类合金的研究主要集中在利用 Co, Mn, Al, Fe, Cr 等添加元素取代该类合金中的 Ni 来改进其贮氢性能。但是, 这些合金元素的取代在降低平衡氢压的同时, 氢容量往往下降较多; 而少量 Sn 元素部分替代  $\text{LaNi}_5$  合金中的 Ni, 在气相吸、放氢循环中已表现出能够显著提高合金的循环寿命, 而且氢容量和平台宽度下降很少<sup>[1]</sup>。本文作者在富镧混合稀土贮氢合金  $\text{M}\text{Ini}_5$  的基础上, 较详细地研究了添加少量 Sn 对合金的平衡氢压、吸氢容量、生成热等热力学性能方面的影响, 以寻求具有良好的贮氢特性且价格低廉的贮氢材料。

## 1 实验

$\text{M}\text{Ini}_{5-x}\text{Sn}_x$  合金按设计成分 ( $x = 0, 0.1$ ) 和  $\text{LaNi}_{4.9}\text{Sn}_{0.1}$  合金配制各 30 g, 在非自耗钨极真空电弧炉中熔炼 3~4 次, 充高纯氩气保护。所用混合稀土金属组成(质量分数, %)为: Ml(La 80.45, Ce 0.28, Nd 18.81, Pr 0.46); 金属纯度(质量分数, %)为 La 99.5, Ni 99.95, Sn 99.95。样品经吸放氢后制成 33~50  $\mu\text{m}$  粉末, 在 D/NAX-RB12KW 旋转阳极 X 射线衍射仪上进行结构分析, 测试参数为 40 kV, 100 mA, CuK $\alpha$ , 扫描参数为 0.04°/step, 4°/min。

样品活化均在室温下进行, 使用纯度为

99.99% 的氢气, 初始氢压均为 4 MPa。合金的吸、放氢压力组成等温线在 298~333 K,  $10^{-3} \sim 10$  MPa 的范围内测定。吸氢性能测定采用活化测试两用装置<sup>[2]</sup>。

## 2 结果与讨论

### 2.1 合金结构

经 X 射线衍射分析表明合金均为六方  $\text{CaCu}_5$  型结构, 无第二相存在。通过计算得出的相应合金晶格参数和晶胞体积列于表 1。由表 1 可知, Sn 部分替代 Ni 后, 晶胞体积  $V$  有所增加。

表 1 合金的组成及结构参数

Table 1 Composition and structure of alloys

Composition	Structure parameter		
	$a/\text{nm}$	$c/\text{nm}$	$V/10^{-3} \text{ nm}^3$
$\text{M}\text{Ini}_{4.9}\text{Sn}_{0.1}$	0.5003	0.3953	85.69
$\text{M}\text{Ini}_5$	0.4978	0.3982	85.46

### 2.2 吸氢性能

活化后的试样经 2~3 次吸、放氢循环后进行  $p - c - T$  特性测定。图 1~3 分别为  $\text{M}\text{Ini}_5$ ,  $\text{M}\text{Ini}_{4.9}\text{Sn}_{0.1}$  和  $\text{LaNi}_{4.9}\text{Sn}_{0.1}$  合金在 298 K, 313 K, 333 K 温度下的放氢  $p - c - T$  曲线。对每一个样品而言, 平台压力随着温度升高而升高, 说明氢化物随温度升高其稳定性有所下降, 饱和吸氢量随温度升高而减小。

① 收稿日期: 1998-10-18; 修订日期: 1999-01-07

作者简介: 赵爽(1969-), 女, 博士

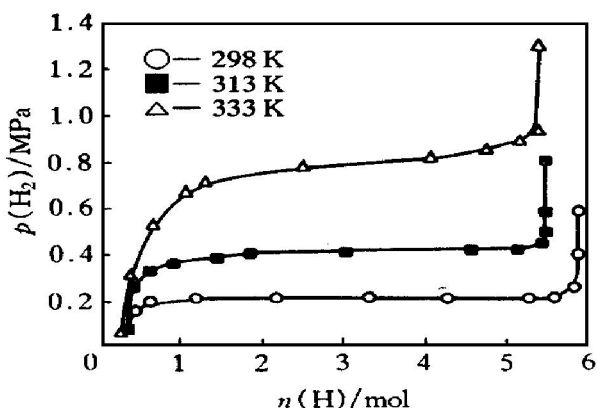


图 1 MnNi<sub>5</sub> 放氢压力( $p(H_2)$ )—组成( $n(H)$ )等温线

Fig. 1 Pressure—composition isotherms for MnNi<sub>5</sub> alloys

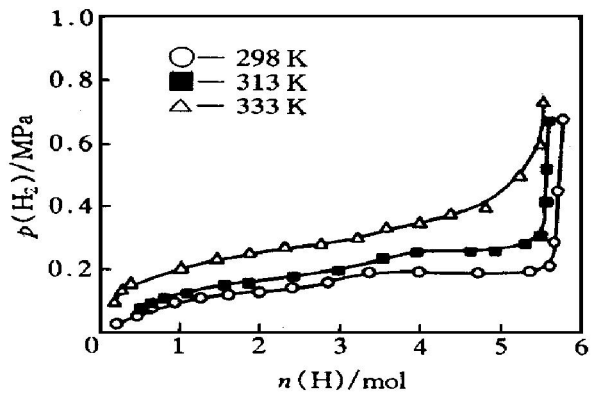


图 2 MnNi<sub>4.9</sub>Sn<sub>0.1</sub> 放氢压力—组成等温线

Fig. 2 Pressure—composition isotherms for MnNi<sub>4.9</sub>Sn<sub>0.1</sub>

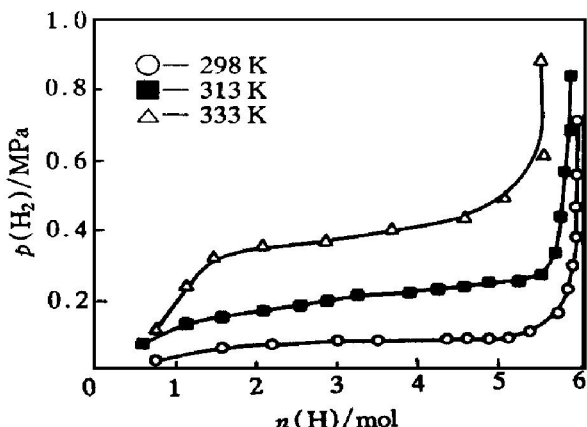


图 3 LaNi<sub>4.9</sub>Sn<sub>0.1</sub> 放氢压力—组成等温线

Fig. 3 Pressure—composition isotherms for LaNi<sub>4.9</sub>Sn<sub>0.1</sub>

图 4 为两种合金在 298 K 时的吸、放氢组成  $p - c - T$  等温线。由图可见, MnNi<sub>4.9</sub>Sn<sub>0.1</sub> 合金的

吸、放氢  $p - c - T$  曲线比 MnNi<sub>5</sub> 的倾斜一些, 但是吸、放氢的滞后压力差减小了。在 298 K 时, MnNi<sub>4.9</sub>Sn<sub>0.1</sub> 和 MnNi<sub>5</sub> 的  $p_A/p_D$  ( $p_D$ —放氢平台压,  $p_A$ —吸氢平台压) 的比值分别为 1.28, 1.32; Sn 取代 Ni 后, 滞后变小。Mendelsohn 等<sup>[3]</sup> 曾测得 LaNi<sub>4.6</sub>Sn<sub>0.4</sub> 在 305 K 时,  $p_D = 15.6$  kPa,  $p_A/p_D = 1.038$ ; Lambert<sup>[4]</sup> 给出 LaNi<sub>4.8</sub>Sn<sub>0.2</sub> 合金在 298 K 时经过 10 次吸、放氢循环后,  $p_A/p_D = 1.051$ ; 我们所测定的值比文献报道的压力比率值大, 这与用混合稀土替代纯镧有关。

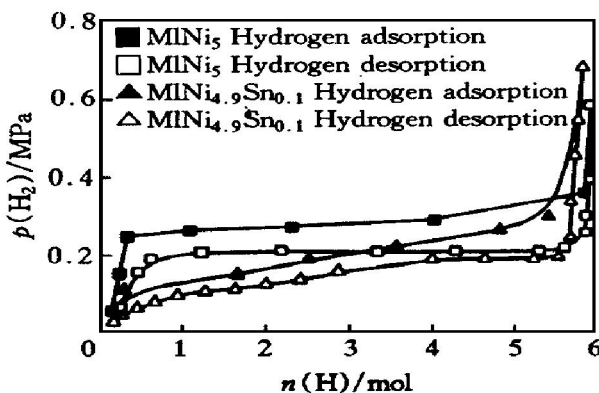


图 4 298 K MnNi<sub>5</sub> 和 MnNi<sub>4.9</sub>Sn<sub>0.1</sub> 的吸放氢

$p - c - T$  曲线

Fig. 4 Hydrogen absorption and desorption  $p - c - T$  curves of MnNi<sub>5</sub> and MnNi<sub>4.9</sub>Sn<sub>0.1</sub> at 298 K

表 2 给出了 5 种合金的热力学数据。文献报道的 MnNi<sub>5</sub><sup>[5]</sup> 的平衡氢压的值要高于我们所测定的相应合金的值, 这是混合稀土成分不同的结果, Ce 和 Nd 的增加会显著提高平台压。MnNi<sub>5</sub> 和 LaNi<sub>5</sub> 之间性能的差异也是由于所含稀土组元的比例不同, 加入少量 Sn 后, 平衡氢压都降低。以  $\ln p_D$  对  $1/T$  作图(图 5), 从直线斜率和截距求得合金的  $\Delta H^\ominus$  和  $\Delta S^\ominus$ (表 2)。加 Sn 后, 合金的氢化生成焓也减小。一般认为, 分解压力的降低可能与单位晶胞体积的增加有关<sup>[6]</sup>, 由 X 射线衍射数据知, MnNi<sub>4.9</sub>Sn<sub>0.1</sub> 合金的晶胞体积比 MnNi<sub>5</sub> 的增加了 0.3%。采用电负性差( $\Delta x$ )、电子浓度( $e/a$ )及原子尺寸( $\delta$ )等键参数给出的 LaNi<sub>5-x</sub>M<sub>x</sub> (M = Mn, Fe, Co, Ni, Cu, Al, Ga, Ge, Si) 合金的生成热的半经验模型<sup>[7]</sup>为

$$\Delta H^\ominus = -1.611 \times 10^5 - 4.485 \times 10^5 (\Delta x)^2 + 3.617 \times 10^6 \delta^2 + 1.151 \times 10^4 (e/a)^{2/3} \quad (1)$$

由此可知, 电负性、电子浓度及原子尺寸等诸因素均影响贮氢合金的生成热和平衡氢压。由式(1)计

表 2 合金的热力学性质(298 K)

Table 2 Thermodynamic properties of the experimental alloys (298 K)

Alloys	$n(\text{H})/\text{mol}$	$p_{\text{D}}/\text{MPa}$	$T/\text{K}$	$-\Delta H^{\ominus}/(\text{kJ}\cdot\text{mol}^{-1})$	$-\Delta S^{\ominus}/(\text{J}\cdot\text{mol}^{-1}\cdot\text{K}^{-1})$	Data resources
M <sub>1</sub> Ni <sub>4.9</sub> Sn <sub>0.1</sub>	5.3	0.12	298	28.3	96.7	This paper
M <sub>1</sub> Ni <sub>5</sub>	5.7	0.22	298	28.1	101.3	This paper
M <sub>1</sub> Ni <sub>5</sub> <sup>*</sup>	~7.0	0.38	293	26.46	103.74	[5]
LaNi <sub>4.9</sub> Sn <sub>0.1</sub>	5.7	0.09	298	31.7	106.1	This paper
LaNi <sub>5</sub>	6.0	0.19	293	30.24	109.2	[5]

\* M<sub>1</sub> composition:  $w(\text{La}) = 51.2\%$ ;  $w(\text{Ce}) = 3.9\%$ ;  $w(\text{Pr}) = 8.8\%$ ;  $w(\text{Nd}) = 26.9\%$

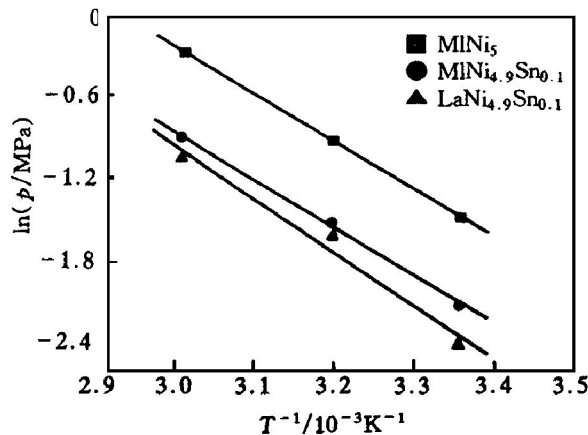


图 5 合金的 Van't Hoff 曲线

Fig. 5 Van't Hoff plots of alloys

算的 LaNi<sub>4.9</sub>Sn<sub>0.1</sub> 合金氢化反应的  $\Delta H_{\text{cal}}^{\ominus}(\text{H}_2)$  为  $-30.6 \text{ kJ/mol}$ , 而实验测定值为  $-31.7 \text{ kJ/mol}$ , 两者只差  $1.1 \text{ kJ/mol}$ , 而文献[8]  $38.9 \text{ kJ/mol}$  值偏高。典型合金 LaNi<sub>5</sub> 的  $\Delta H_{\text{cal}}^{\ominus} = 30.2 \text{ kJ/mol}$ ,  $\Delta H_{\text{exp}}^{\ominus} = 31.7 \text{ kJ/mol}$ 。Sn 原子半径  $0.158 \text{ nm}$  比 Ni 原子半径  $0.123 \text{ nm}$  大很多, 前者的电负性 1.72 和外层电子数 4 和后者的电负性 1.75 和外层电子数 10 也不同。由此计算得到 LaNi<sub>4.9</sub>Sn<sub>0.1</sub> 和 LaNi<sub>5</sub> 对应的键参数  $\Delta x^2$ ,  $\delta^2$ ,  $(e/a)^{2/3}$  分别为  $0.06235$ ,  $0.03064$ ,  $4.180$  和  $0.06245$ ,  $0.03051$ ,  $4.214$ 。添加 Sn 后合金的生成热负值增大、平衡氢压降低, 而从 3 个因素对于生成热的贡献来看, 电子浓度因素的影响是最主要的。由此可以看出, Sn 部分替代 Ni 影响生成热和平衡氢压的主要因素不是原子尺寸因素, 而是外层电子数的变化。

实验结果还表明, Sn 在降低分解压的同时, 氢容量降低很少。Bowman 等人<sup>[1]</sup>的研究表明, LaNi<sub>4.8</sub>Sn<sub>0.2</sub> 合金即使在经过 1330 次气相吸、放氢循环后, 其氢容量和平台宽度也只减少了原来的 10%。通过对 XRD 的精细分析, 认为 Sn 原子可在 3g 位 ( $Z=1/2$ ) 和 2c 位 ( $Z=0$ ) 取代 Ni 原子<sup>[9]</sup>, 无

序度大, 这与 Mn 原子取代时占据的晶格位置一致, 而 Mn 取代的三元合金氢容量降低也很少; 对于相应的氢化物来说, Mn 取代时氢原子占据 m, n, o, f 和 h 位置, 而吸氢容量的大小与氢原子占据间隙位置的数目多少有关<sup>[10]</sup>。

### 3 结论

1) M<sub>1</sub>Ni<sub>5-x</sub> ( $x = 0, 0.1$ ) 合金为单相的 CaCu<sub>5</sub>型结构, Sn 的取代导致晶胞体积增大, 平衡氢压降低, 生成热减小, 氢化物的稳定性提高; Sn 的取代对吸氢量影响较小。部分 Sn 取代 M<sub>1</sub>Ni<sub>5</sub> 中的 Ni, 改善了 M<sub>1</sub>Ni<sub>5</sub> 的吸、放氢的滞后效应。

2) Sn 部分替代 Ni 影响热力学性质的主要因素是外层电子数的变化。

### REFERENCES

- [1] Bowman R C Jr, LUO C H, AHN C C, et al. The effect of tin on the degradation of LaNi<sub>5-y</sub>Sn<sub>y</sub> metal hydrides during thermal cycling [J]. J Alloys Comp, 1995, (217): 185~192.
- [2] LIN Qin(林勤), LI Rong(李蓉), YE Wen(叶文), et al. M<sub>1</sub>Ni<sub>5</sub>Co-Mn-Al 合成吸氢动力学 [J]. Acta Metallurgica Sinica(金属学报), 1996, (6): 624~628.
- [3] Mendelsohn M H, Greun D M and Dwight A E. The effect of aluminum additions on the structural and hydrogen absorption properties of AB<sub>5</sub> alloys with particular reference to the LaNi<sub>5-x</sub>Al<sub>x</sub> ternary alloy system [J]. Inorg Chem, 1979, (18): 3343.
- [4] Lambert S W, Chandra D, Cathey W N, et al. Investigation of hydriding properties of LaNi<sub>4.8</sub>Sn<sub>0.2</sub>, LaNi<sub>4.27</sub>Sn<sub>0.24</sub> and La<sub>0.9</sub>Gd<sub>0.1</sub>Ni<sub>5</sub> after thermal cycling and aging [J]. J Alloys Comp, 1992, (187): 113~135.
- [5] WANG Qidong(王启东), WU Jing(吴京), CHEN Changpin(陈长聘), et al. 镧稀土金属-镍贮氢材料 [J]. Rare Earth(稀土), 1984, (3): 8~13.

- [6] Lundin C E, Lynch F E, Magee C B. A correlation between the interstitial hole sizes in intermetallic compounds and the thermodynamic properties of hydrides formed from those compounds [J]. *J Less-Common Met*, 1977, (56): 19~37.
- [7] ZHAO Shuang(赵爽), LIN Qin(林勤), CHEN Ning(陈宁), et al.  $\text{LaNi}_{5-x}\text{M}_x$  合金氢化物贮氢性能的计算与预报 [J]. *Acta Metallurgica Sinica*(金属学报), 1999, (1): 65~69.
- [8] ZHOU Zuoxiang(周作祥), HE Chun-hong(何春红), WANG Zheng-ping(王正平), et al. 电化学方法测定几种稀土贮氢合金的热力学函数 [J]. *Acta Physico-Chimica Sinica*(物理化学学报), 1992, (4): 558~562.
- [9] Cantrell J S, Beiter T A and Bowman R C Jr. Crystal structure and hydriding behavior of  $\text{LaNi}_{5-y}\text{Sn}_y$  [J]. *J Alloys Comp*, 1994, (207~208): 372~376.
- [10] Lartigue C, Percheron-Guegen A and Achard J C. Thermodynamic and structural properties of  $\text{LaNi}_{5-x}\text{Mn}_x$  compounds and their related hydrides [J]. *J Less-Common Met*, 1980, (75): 23~28.

## Effect of Sn on rare earth base hydrogen storage alloys

ZHAO Shuang<sup>1</sup>, LIN Qin<sup>1</sup>, ZHU Da-jian<sup>1</sup>, CHEN Ning<sup>1</sup>, YUAN Yong-wen<sup>2</sup>

1. Department of Physics and chemistry,

University of Science and Technology Beijing, Beijing 100083, P. R. China;

2. Department of Materials Science and Engineering,

Tsinghua University, Beijing 100084, P. R. China

**Abstract:** The effect of partial substitution of tin for nickel in hydrogen storage alloys  $\text{LaNi}_5$  and  $\text{M}\text{I}\text{N}\text{i}_5$  ( $\text{M}$ = lanthanum-rich mischmetal) on structure, hydrogen content, hydrogen absorption capability and hydrogen equilibrium pressure of those hydrogen storage alloys was investigated. The phase structure was studied by X-ray diffraction analysis. The hydrogen absorption and desorption pressure-composition isotherms were measured under the temperature of 298 K, 313 K and 333 K. The results indicate that the  $\text{M}\text{I}\text{N}\text{i}_{5-x}\text{Sn}_x$  ( $x=0\sim 0.1$ ) alloys have a single phase and hexagonal structure. The partial substitution of tin for nickel in  $\text{M}\text{I}\text{N}\text{i}_5$  results in low hydrogen equilibrium pressure and hysteresis. There is little decrease in hydrogen capability when a small amount of tin is added.

**Key words:** hydrogen storage alloys; rare earth; tin

(编辑 吴家泉)